

MAPA GEOLOGICO DE ESPAÑA

ESCALA 1:50.000

MEMORIA EXPLICATIVA DE LA HOJA

N° 822 (30-32)

BENISA

ALBUM FOTOGRAFICO

Diciembre 1993

DOCUMENTACION FOTOGRAFICA DE LA HOJA

DE BENISA N° 822 (30-32)

DESCRIPCION Y RELACION DE LAS FOTOGRAFIAS DE LA HOJA DE BENISA N° 822.

Foto n°30-32 AD-AG-9400. -Frente de cabalgamiento del Puerto de la Sagra. En primer término las Facies Keuper sobre las margas del Mioceno medio-superior en facies "tap" y bajo las calizas del Senoniense.

Foto n°30-32-AD-AG-9401. -Vista panorámica de la serie del Cretácico inferior en el Barranco de Galistero. En primer término las barras bioclásticas, arrecifales y pararrecifales del Aptinse- Albiense inferior.

Foto n°30-32-AD-AG-9402. -Ejemplar de ammonites del Cretácico inferior. Encontrado en el Barranco de Malaf.

Foto n°30-32-AD-AG-9403. - Cantera abandonada de arcilla. Base del Cretácico inferior, margas con ammonites piritizados.

Foto n°30-32-AD-AG-9404. - Detalle de las formaciones biocalcareónicas y niveles margosos del Albiense. Cretácico de la Sierra del Mongó.

Foto n°30-32-AD AG-9405. -Progradación de barras bioclásticas en el Albiense. Autopista del Mediterráneo A-7.

Foto n°30-32-AD-AG-9406. -Calizas, dolomías y margas muy replegadas del Cenomaniense-Turonense. Autopista del Mediterráneo A-7. PK 610.

Foto n°30-32-AD-AG-9407. -Detalle de las calizas de orbitolinas del Cenomaniense inferior en la Autopista del Mediterráneo A-7, pk 610,600. Orbitolinas enteras y bioclóstos de ellas.

Foto n°30-32-AD-AG-9408. -Vista panorámica desde el vértice Cao. En primer término la serie del Cretácico inferior (Albiense). A la izquierda la discordancia angular del Oligoceno superior-Mioceno inferior. A la derecha la Hoya de la Ventolana.

Foto n°30-32-AD-AG-9409.-Serie del Albiense-Cenomaniense en el Alto de Planises-Hoya de la Ventolana. En primer término la serie de barras oolíticas e intraclásticas del Albiense. Al fondo las calizas de Pithonellas del Cenomaniense, bajo la discordancia del Oligoceno inferior (calizas de Algas).

Foto n°30-32-AD-AG-9410.-Sierra del Mongó. Serie cretácica vista desde su cara SE.

Foto n°30-32-AD-AG-9411.-Barras de destrucción arrecifal. Calizas dolomitizadas del Cenomaniense superior-Turonense en la Autopista del Mediterráneo A-7.

Foto n°30-32-AD-AG-9412.-Panorámica del borde occidental de la Sierra del Ferrer. Capas verticales del Cretácico superior (Campaniense-Maastrichtense).

Foto n°30-32-AD-AG-9413.-Vista panorámica del Barranco del Infierno aguas abajo de la Vall d'Ebo. Los crestones lo forman las calizas del Senonense.

Foto n°30-32-AD-AG-9414.-Calizas del Senonense (Santonense-Campaniense). Caliza de "Graderio" en la carretera local de la Vall D'Ebo a Castell de Castells.

Foto n°30-32-AD-AG-9415.-Margas y margocalizas del Campaniense. Detalle del afloramiento en las proximidades de la Vall D'Ebo.

Foto n°30-32-AD-AG-9416.-Margocalizas de "Inoceramus" en la unidad de margas del Campaniense de la Vall D'Ebo.

Foto n°30-32-AD-AG-9417.-Barranco del rio Ebo, aguas arriba del Embalse de Isbert. En primer término los tramos superiores de la serie del Campaniense superior-Maastrichtense, bajo la discordancia del Oligoceno

medio-superior. En segundo término las calizas del Maastrichtiense cabalgadas por la serie del Santoniense superior en el propio barranco.

Foto n°30-32-AD-AG-9418.-Discordancia entre el Oligoceno inferior y las calizas de Pithonellas del Cenomaniense, en el borde occidental de la Hoya de la Ventolana. Foto tomada desde la carretera de Bernia a Pinos.

Foto n°30-32-AD-AG-9419.-Panorámica del borde meridional de la Sierra del Cao-Loma Larga, Discordancia entre los depósitos del Oligoceno medio-superior y el Eoceno-Oligoceno inferior. Foto tomada desde la pista de Pinos a la Hoya de la Ventolana.

Foto n°30-32-AD-AG-9420.-Alto de la Sierra de Benitachell. Contacto entre el Eoceno y el Oligoceno inferior.

Foto n°30-32-AD-AG-9421.-Brecha de la base del contacto anterior. Lumaquela de equinidos y grandes foraminíferos.

Foto n°30-32-AD-AG-9422.-Panorámica de La Solana junto a la carretera de Collado Bichauca a Castell de Castells. Discordancia angular del Oligoceno sobre el Cretácico superior. Se aprecian discordancias progresivas dentro de la unidad oligocena. A la derecha discordancia angular del Mioceno medio-superior sobre el Oligoceno.

Foto n°30-32-AD-AG-9423.-Discordancia entre el Oligoceno y el Maastrichtiense superior, y discordancia entre el Mioceno superior conglomerático y el Oligoceno. Margen derecha del Barranco del rio Ebo, aguas arriba del Embalse de Isbert.

Foto n°30-32-AD-AG-9424.-Mismo detalle de la foto anterior. En primer término se observa los dos fuertes escarpes del Campaniense y del Maastrichtiense respectivamente.

Foto n°30-32-AD-AG-9425.-Brechas intraformacionales en capas del

Oligocéno medio-superior en las proximidades de los Corrales del Alt.

Foto n°30-32-AD-AG-9426. -Otro aspecto de las brechas intraformacionales del Oligocéno medio-superior en los Corrales del Alt. Se aprecian crecimientos algales dentro de las formaciones brechificadas.

Foto n°30-32-AD-AG-9427. -Facies de margocalizas del Miocéno inferior-medio. (Flysch). Detalle de la acumulación de restos de conchas en las bases de las secuencias. (facies prodelta). Carretera de Alcalalí a Pedreguer.

Foto n°30-32-AD-AG-9428. -Niveles de margas y margocalizas del Miocéno inferior-medio, en la carretera de Alcalalí a Pedreguer. Facies prodelta.

Foto n°30-32-AD-AG-9429. -Frente de cabalgamiento de la Sierra de la Solana, entre Alcalalí y Pedreguer. En primer término las facies "tap" del Miocéno medio-superior. El frente lo forman las calizas del Albiense superior-Cenomaniense inferior.

Foto n°30-32-AD-AG-9430. -Panorámica de la Sierra de Aixota y de la Depresión de Castell de Castells (Hoja de Alcoy). Al fondo abanico turbidítico del Miocéno medio-superior. Entre éstas facies se aprecian olistolitos del Eocéno-Oligocéno.

Foto n°30-32-AD-AG-9431. -Cuerpos arenosos dentro de las margas en facies "tap" del Sinclinal de Benisa (niveles tempestíticos).

Foto n°30-32-AD-AG-9432. -Capas de tormenta dentro de la serie del Miocéno medio-superior margosa en facies "tap". Sinclinal de Benisa. en el cruce de las carreteras de Benisa a Pinos y de Benisa a Jalón.

Foto n°30-32-AD-AG-9433. -Serie turbidítica del Miocéno medio-superior en las proximidades de la localidad de Castell de Castells.

Foto n°30-32-AD-AG-9434.-Impresionante escarpe rocoso en calizas arrecifales del Eoceno superior-Oligoceno (calizas de algas Melobesias, nummulites y otros grandes foraminíferos. Esta formación rocosa se encuentra descansando sobre las margas del Mioceno medio-superior en las proximidades de la localidad de Bolulla. A su vez corresponde con una de las grandes unidades olistostrómicas del frente septentrional de las Sierras de Oro y Aixorta.

Foto n°30-32-AD-AG-9435.-Sinclinal de Tárben. Foto tomada desde el alto de la Sierra del Ferrer. Depósitos margosos del Mioceno medio-superior en los que se puede observar cuerpos olistolíticos de calizas y brechas del Oligoceno.

Foto n°30-32-AD-AG-9436.-Formación conglomerática del Mioceno superior al Oeste de la localidad de la Vall D'Ebo. Al fondo el contacto discordante con las calizas del Senoniense.

Foto n°30-32-AD-AG-9437.-Detalle de las formaciones conglomeráticas del Mioceno superior de la Vall D'Ebo. La mayoría de los clastos son del Cretácico superior (Campaniense-Maastrichtiense).

Foto n°30-32-AD-AG-9438.-Autopista del Mediterráneo, pk. 618. Calizas, calcárenitas y margas del Aptiense superior-Albiense. Pliegue constituido por un tramo competente (calcárenitas), en la izquierda de la foto, y tramos incompetentes (margocalizas) a la derecha de la foto. Pliegues tumbados y un nivel de despegue entre ambos. El tramo margoso presenta cierta disarmonía de plegamiento, con desorganización en la estratificación. Este afloramiento se puede integrar en un gran pliegue recumbente sinforme, con vergencia norte, generado en etape posterior al plegamiento principal. Con éste último, se formaron pliegues

subverticales con vergencia sur, deducible de la posición de la pseudoesquistosidad presente en el tramo competente.

Foto n°30-32-AD-AG-9439. -Panorámica de la vertiente norte del Barranco de Almerich. Frente de cabalgamiento y/o falla inversa entre el Cretácico inferior y las calizas del Eoceno superior-Oligoceno inferior. En primer término las formaciones cretácicas.

Foto n°30-32-AD-AG-9440. -Cabecera del Barranco de Almerich. En primer término el Cretácico inferior cabalgando sobre las calizas del Cretácico superior.

Foto n°30-32-AD-AG-9441. -Panorámica de la terminación septentrional de la Sierra del Ferrer. Al fondo el cabalgamiento de ésta sobre los depósitos del Mioceno inferior-medio. En primer término el sinclinal Mioceno medio-superior de Casas de Las Murtes (carretera de Jalón a Bernia).

Foto n°30-32-AD-AG-9442. -Foto panorámica del borde occidental de la Sierra del Ferrer. Al fondo terminación cabalgante de la Sierra sobre el Oligoceno-Mioceno inferior. A la izquierda el Sinclinal de Tárbena.

Foto n°30-32-AD-AG-9443. - Frente de cabalgamiento del Cretácico superior sobre el Mioceno medio-superior en la Sierra de Segaria (Peñetes Roches).



Foto n° 30-32-AD-AG-9401

Foto n° 30 - 32 - AD - AG - 9402



Foto n° 30 - 32 - AD - AG - 9403



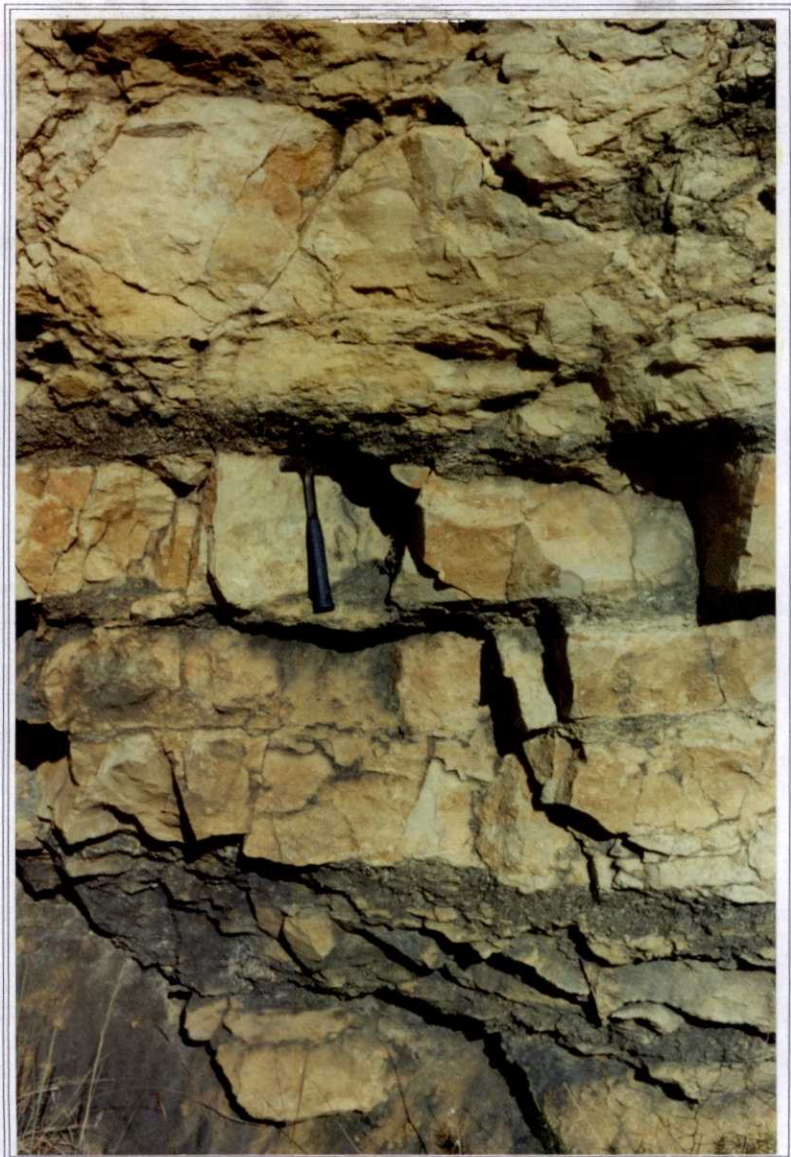


Foto n°30-32-AD-AG-9404

Foto n°30-32-AD-AG-9405





Foto n° 30-32-AD-AG-9406

Foto n° 30-32-AD-AG-9407



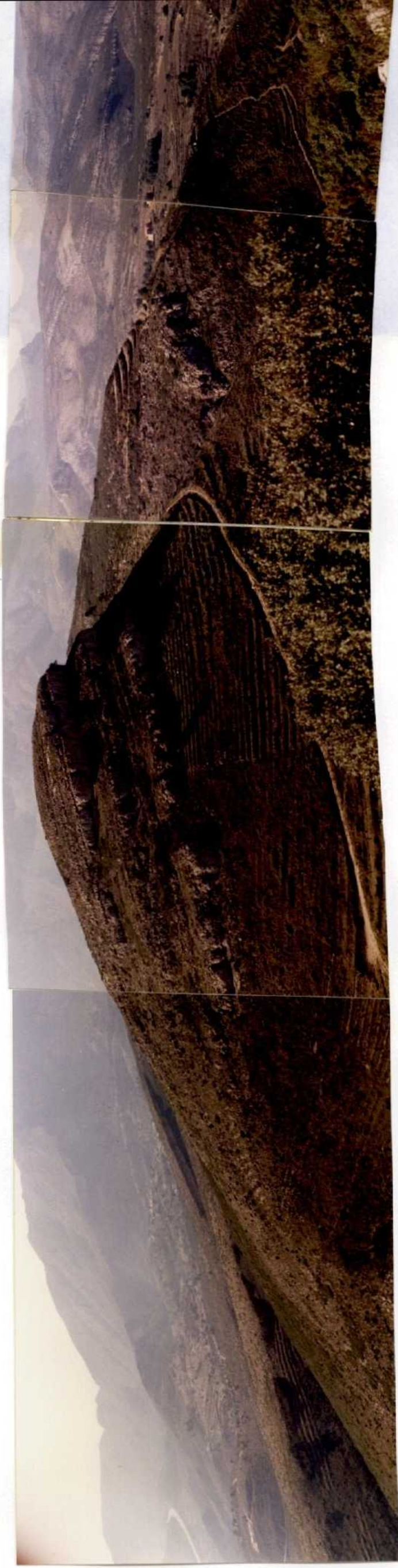


Foto n.º 30-32-AD-AG-9408

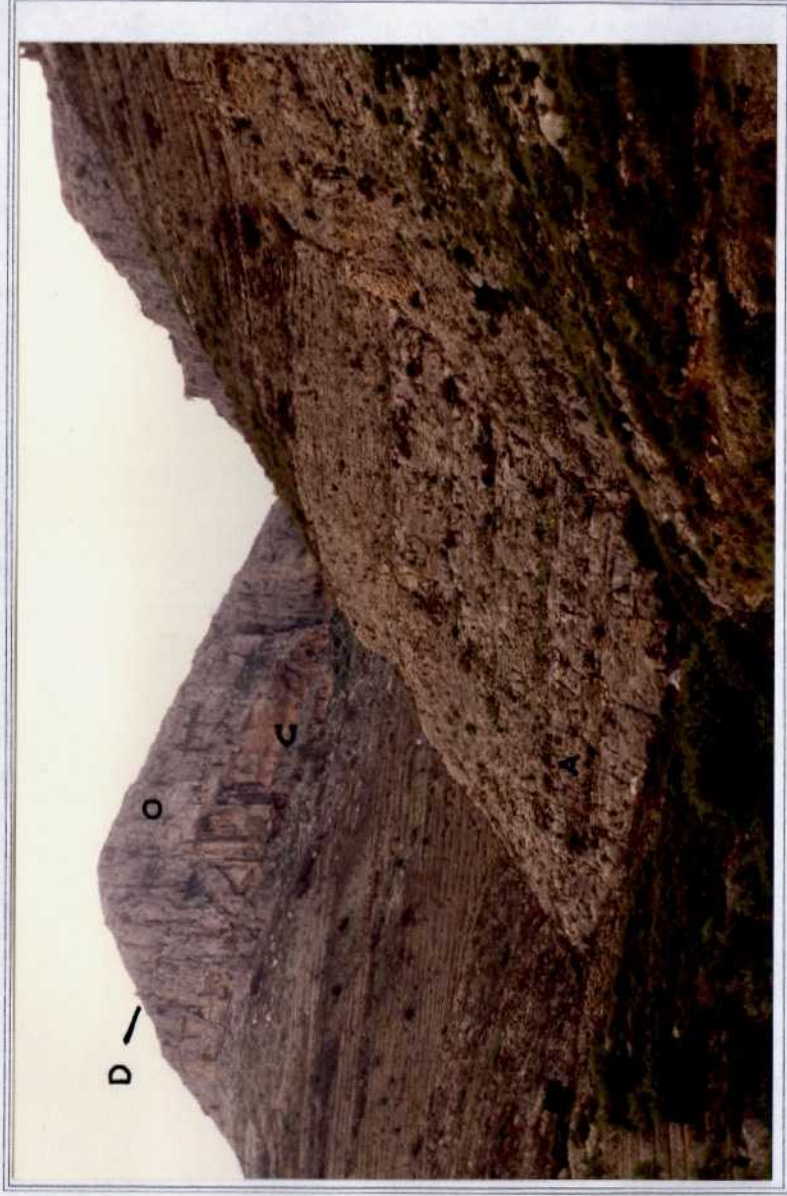


Foto n° 30-32-AD-AG-9409

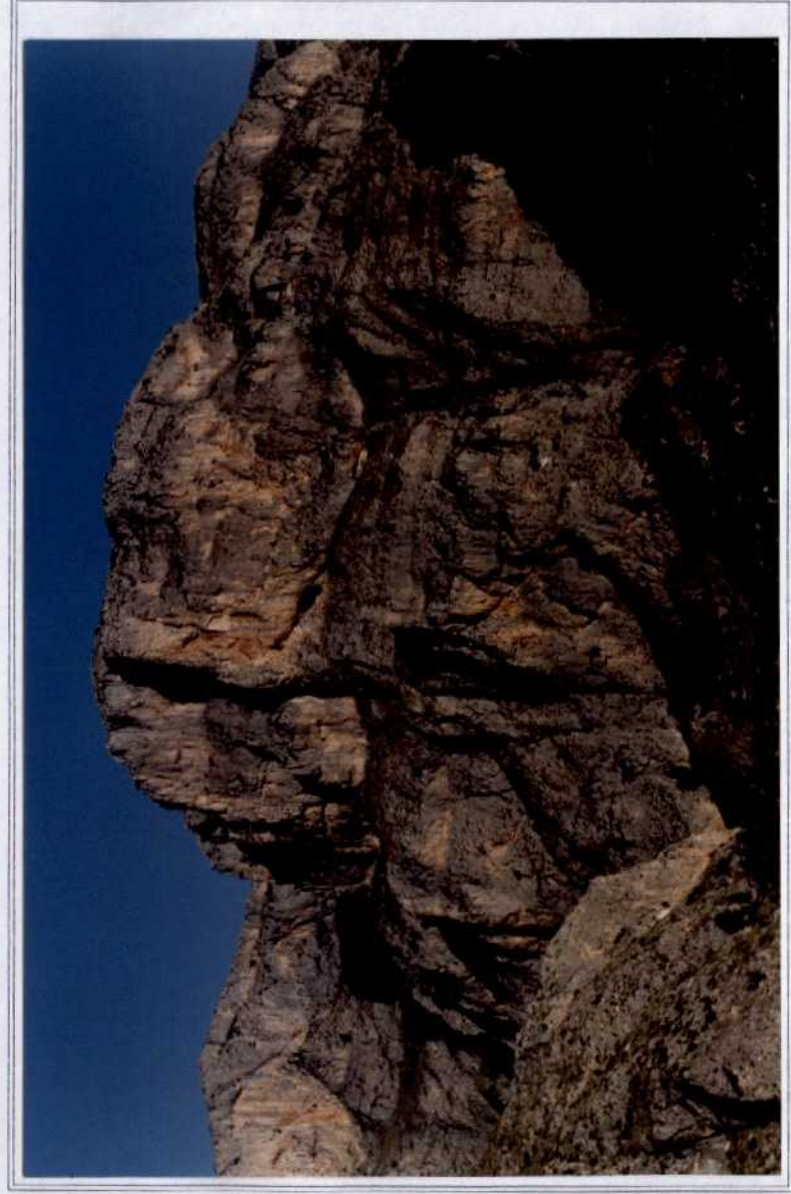


Foto n° 30-32-AD-AG-9434

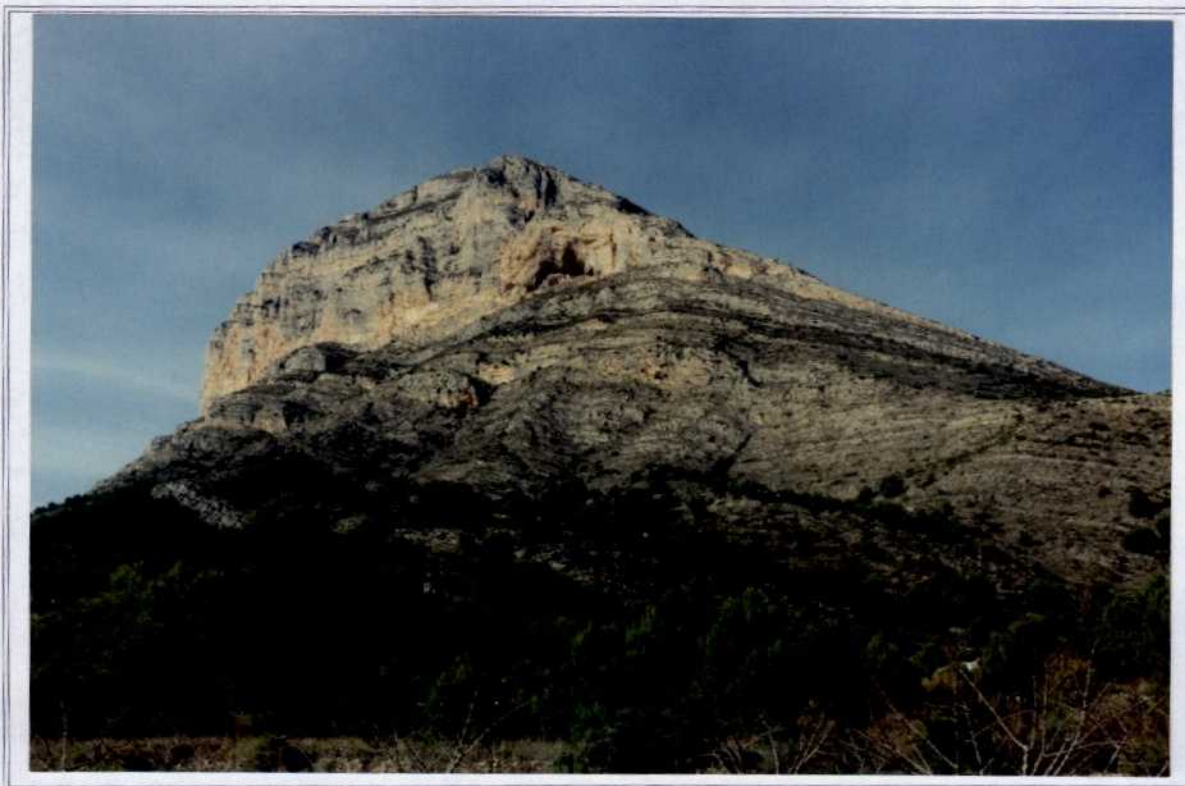


Foto n° 30-32-AD-AG-9410



Foto n° 30-32-AD-AG-9411



Foto n° 30-32-AD-AG-9412

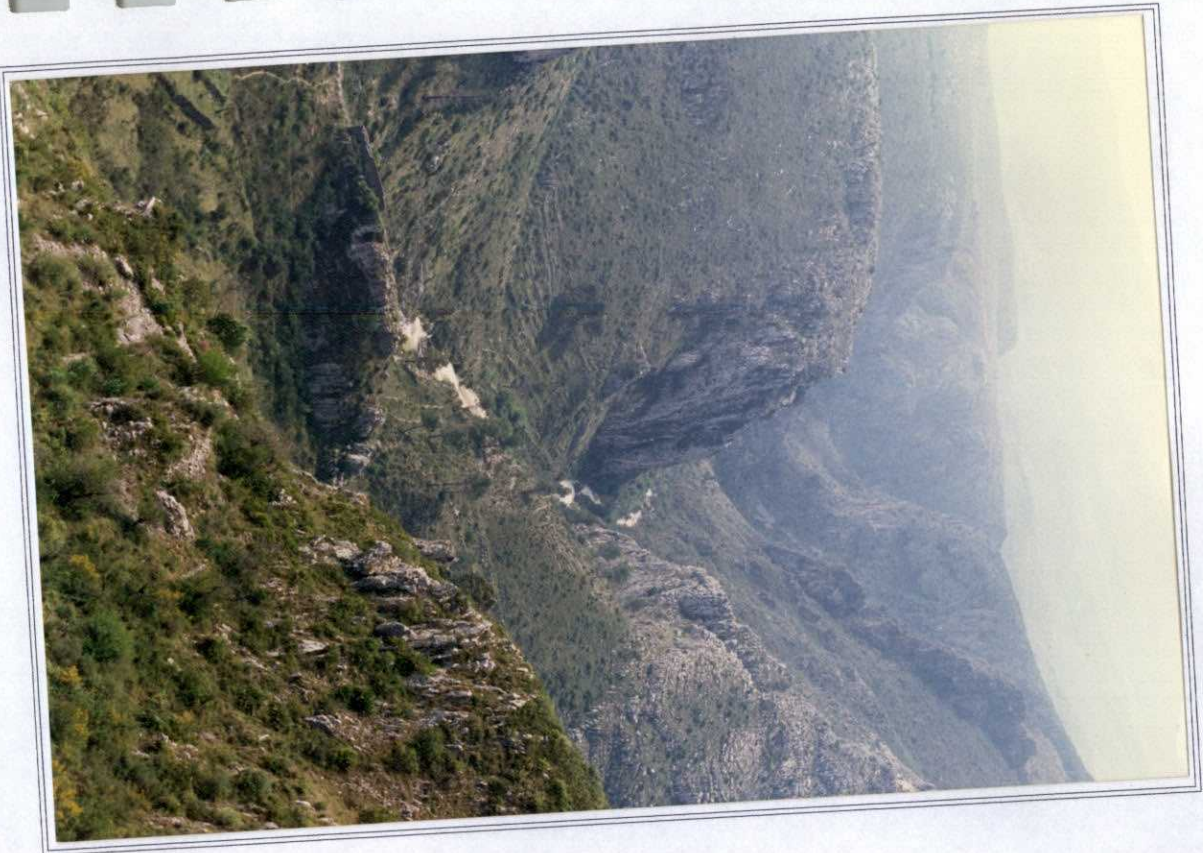
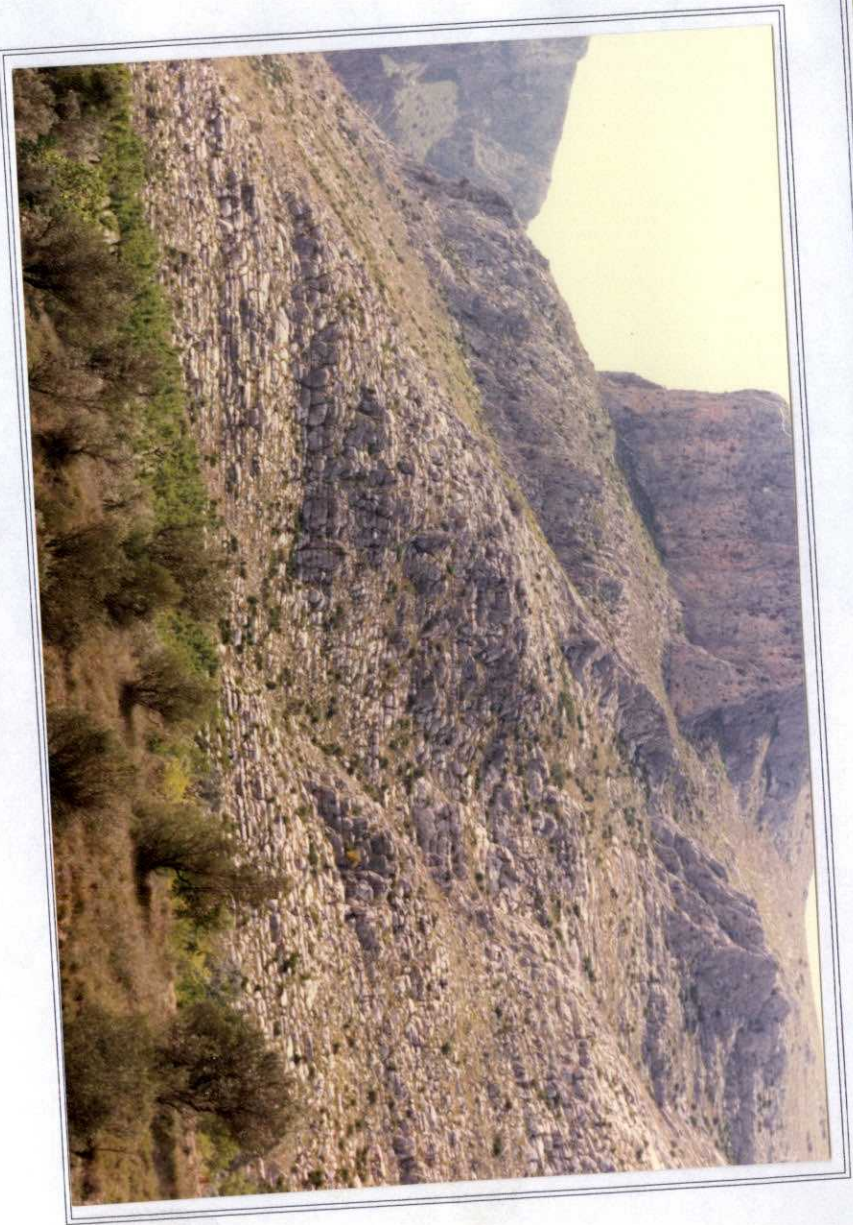


Foto n° 30-32-AD-AG-9413

Foto n° 30-32-AD-AG-9414



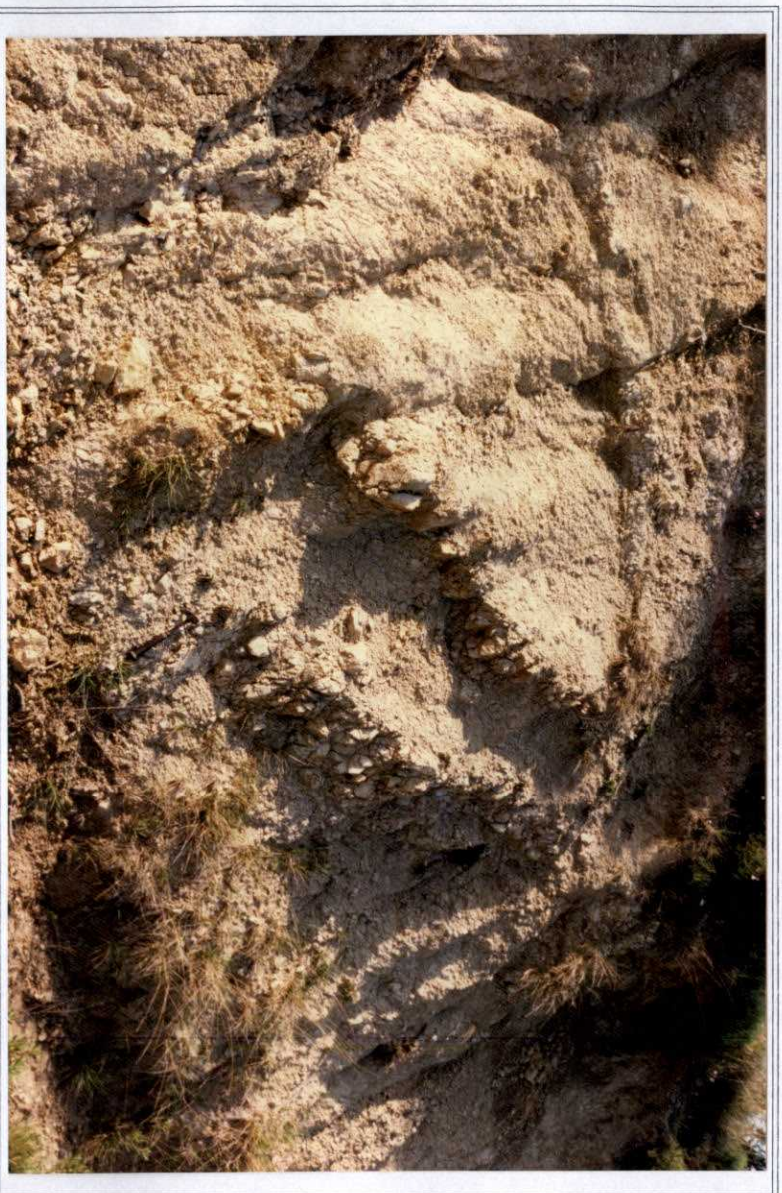


Foto n.º 30-32-AD-AG-9415



Foto n.º 30-32-AD-AG-9416

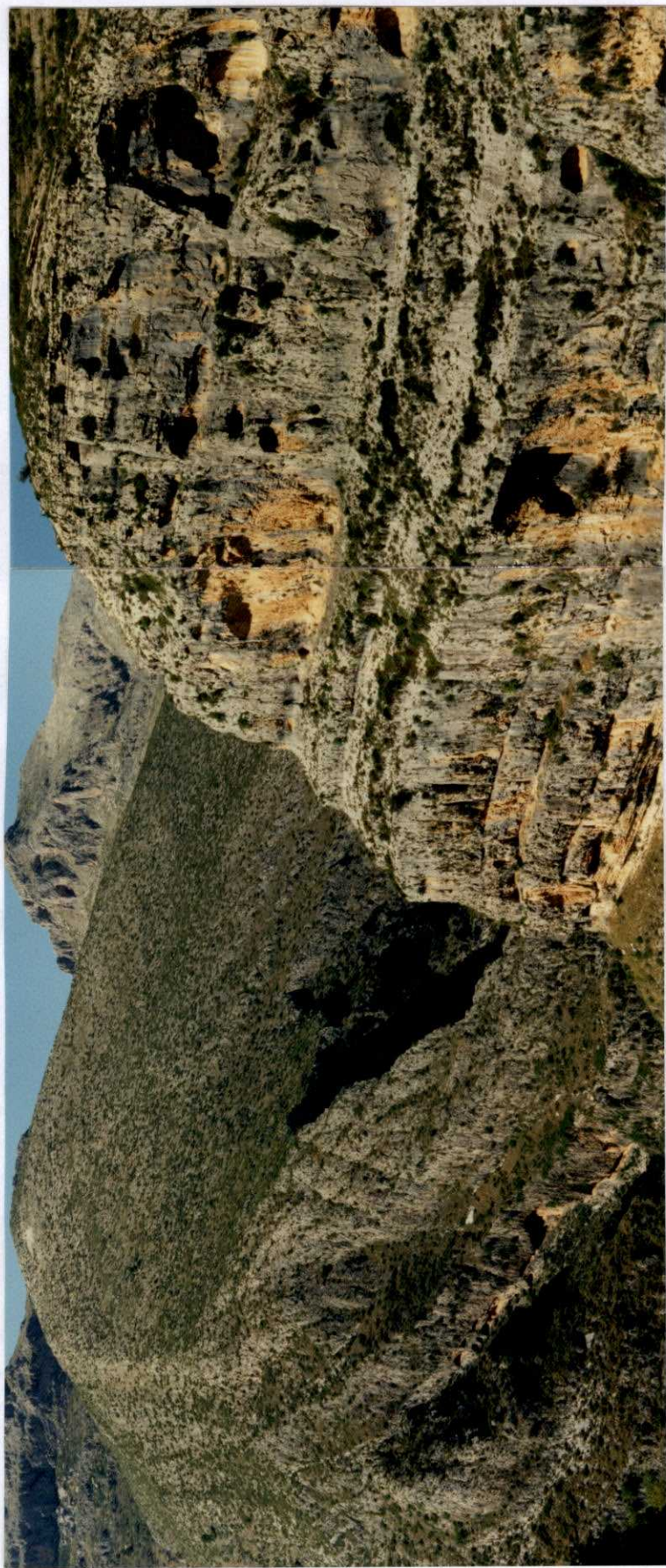


Foto n.º 30-32-AD-AG-9417



Foto n° 30-32-AD-AG-9418

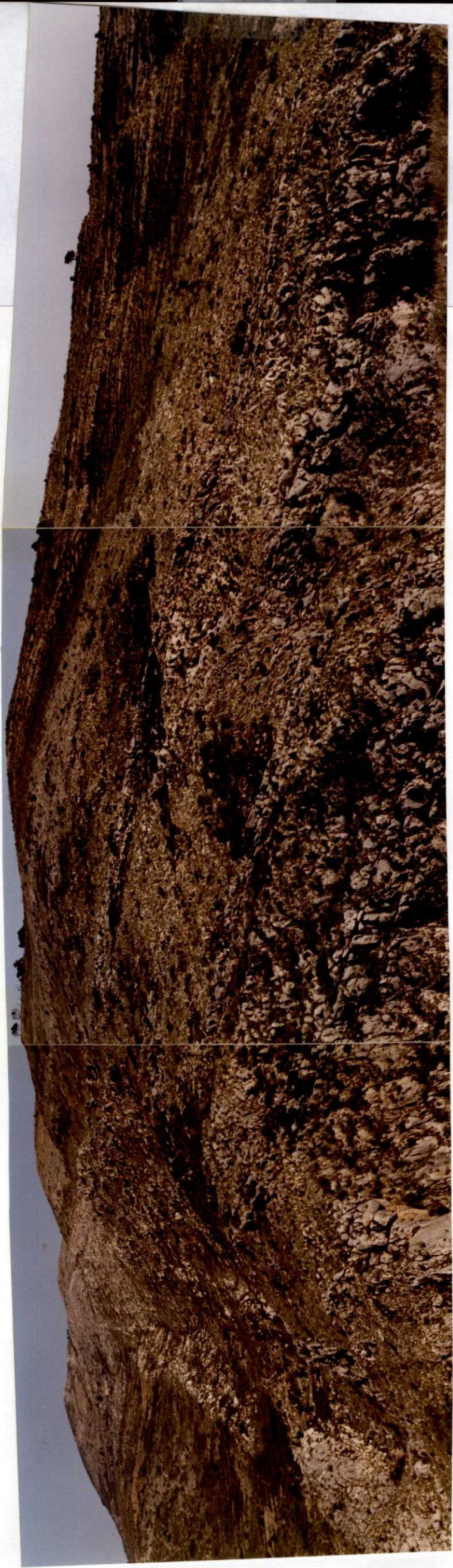


Foto n° 30-32-AD-AG-9419

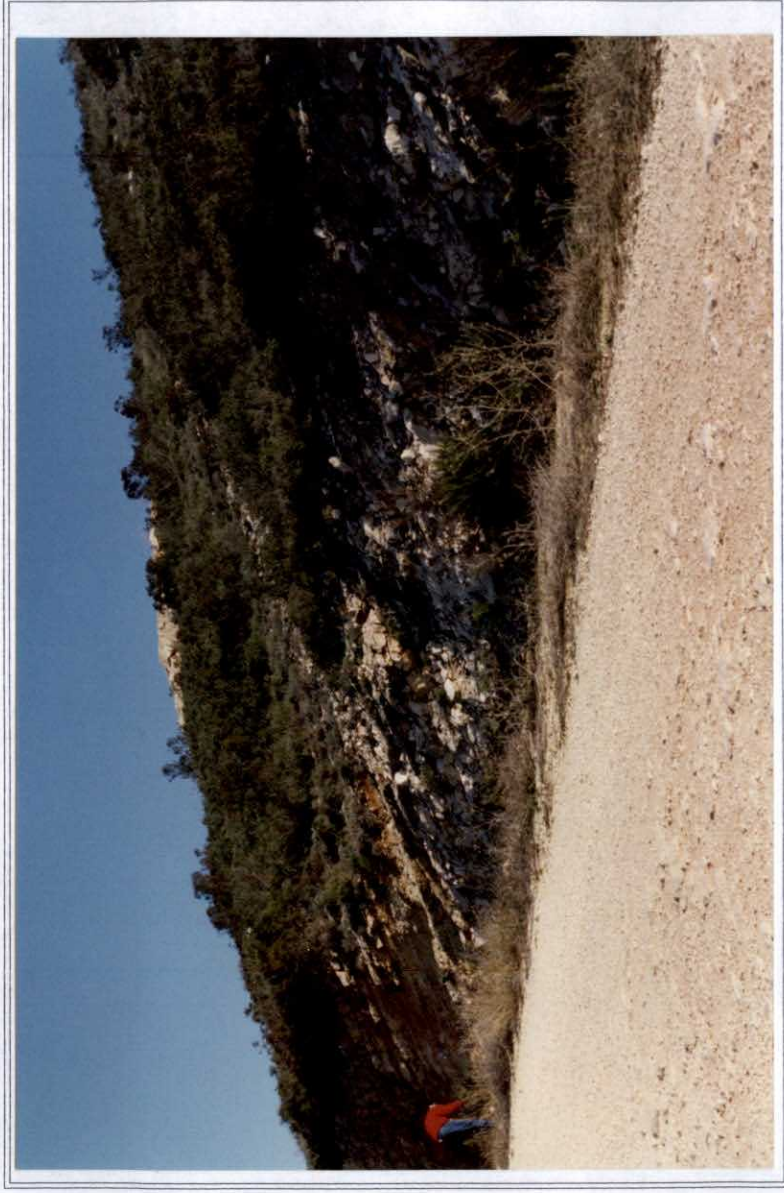


Foto n° 30-32-AD-AG-9420

*PASA A LA HOJA DE JAVEA 823
ESTAR FUERA DE PLANO.

823

, POR



Foto n° 30-32-AD-AG-9421

*PASA A LA HOJA DE JAVEA 823
ESTAR FUERA DE PLANO.

823

, POR

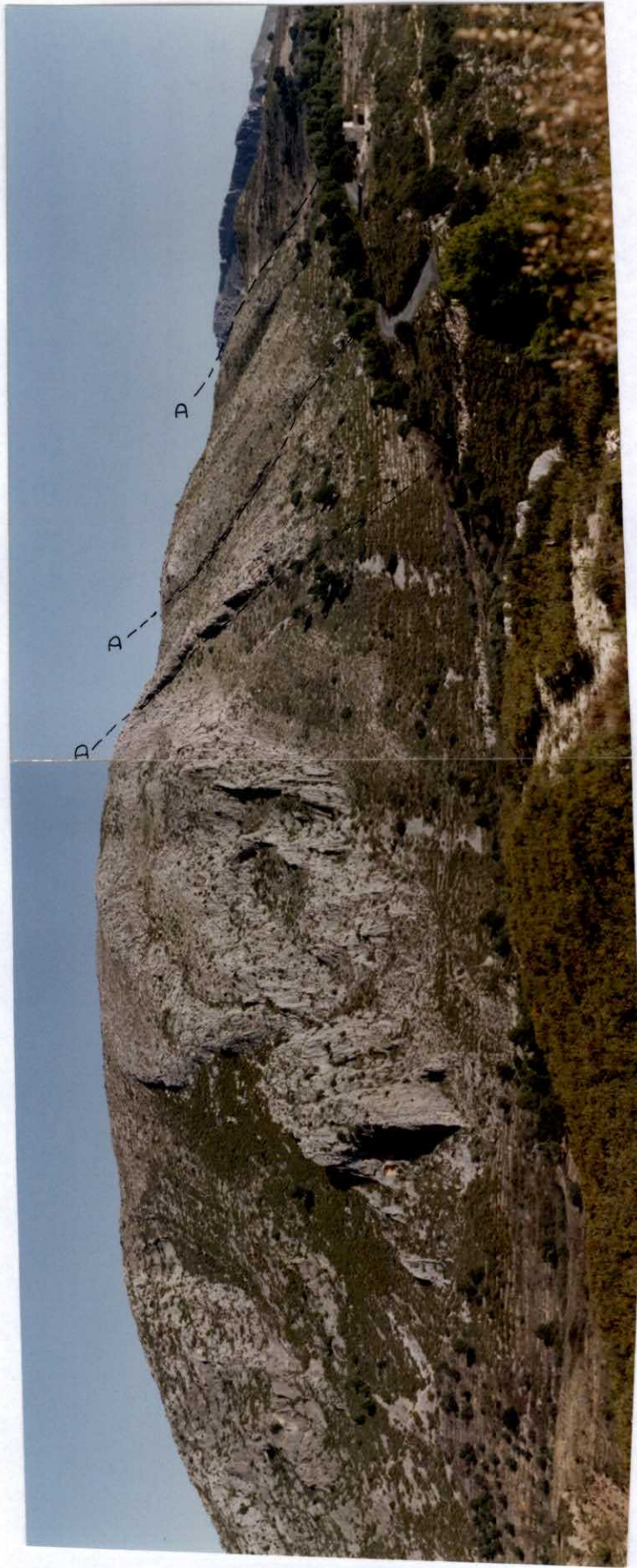


Foto n° 30-32-AD-AG-9422



Foto n° 30-32-AD-AG-9423

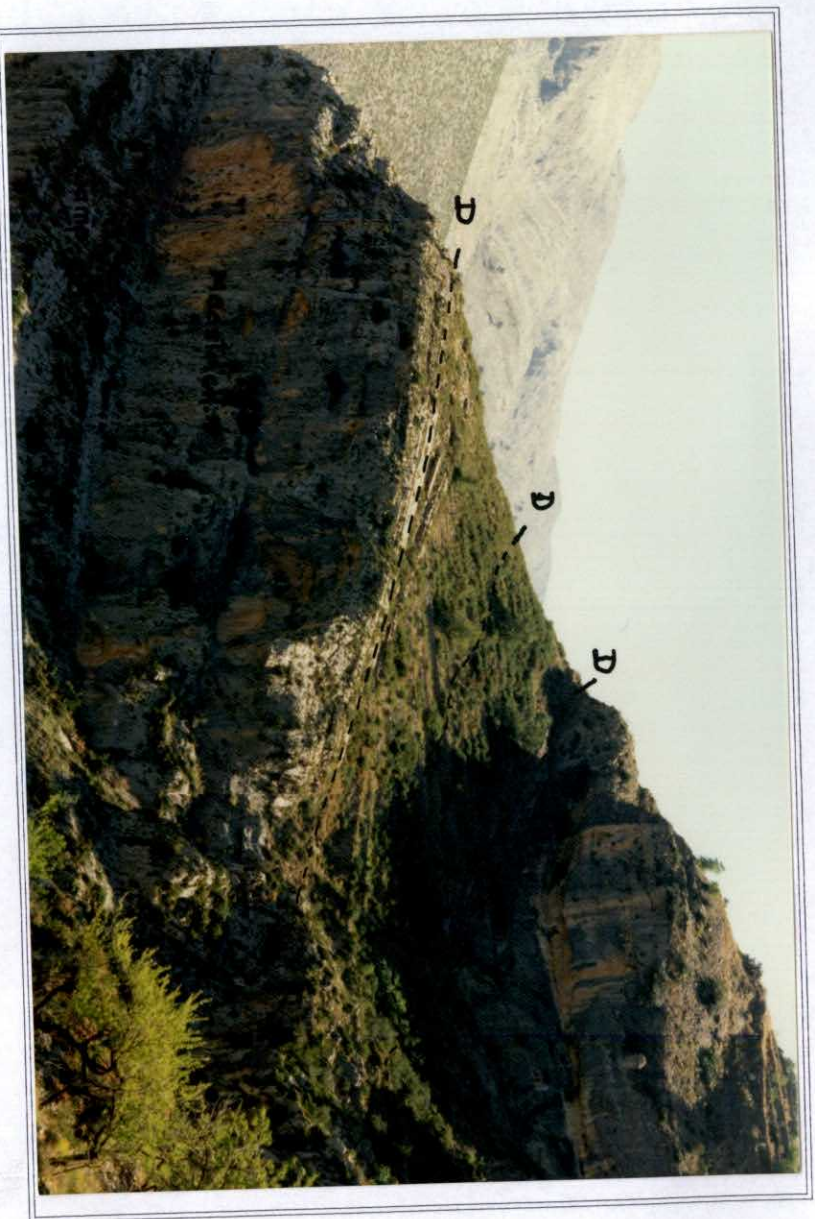


Foto n° 30-32-AD-AG-9424



Foto n° 30-32-AD-AG-9425



Foto n°30-32-AD-AG-9426



Foto n° 30-32-AD-AG-9427

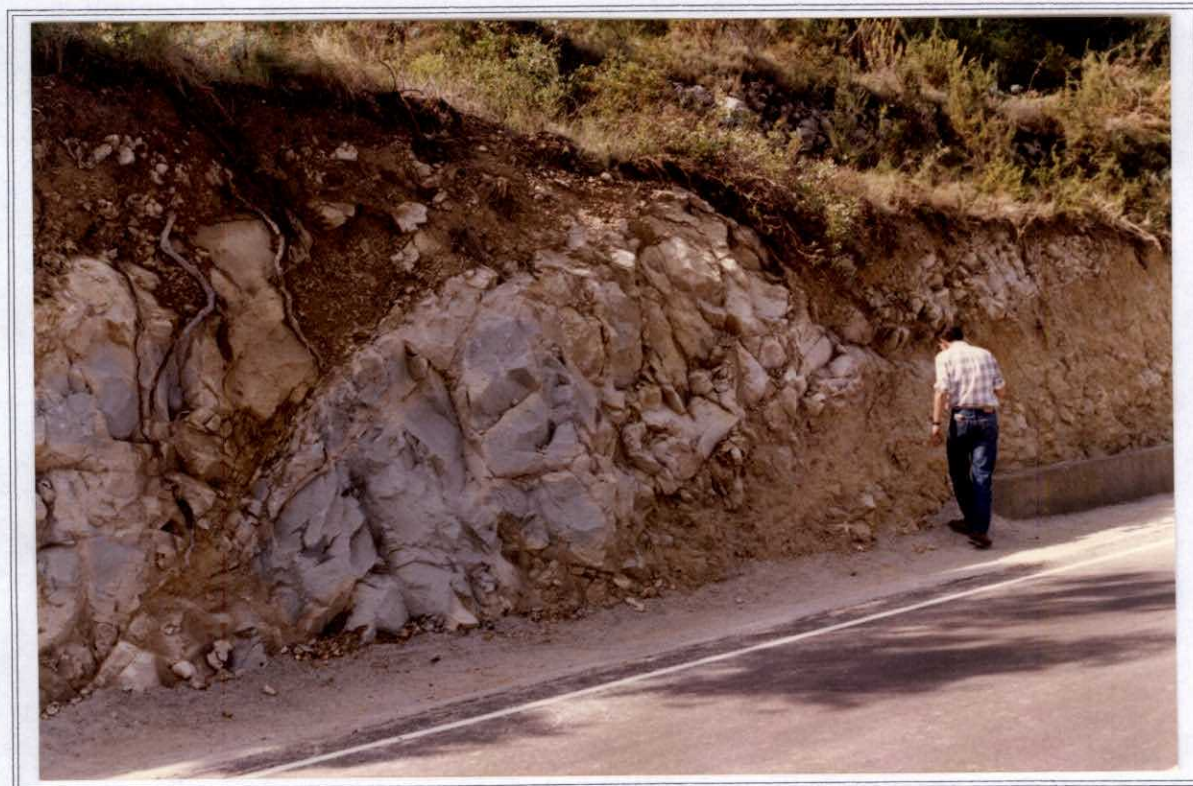


Foto n° 30-32-AD-AG-9428



Foto n° 30-32-AD-AG-9429



Foto n° 30-32-AD-AG-9430

Foto n° . 30-32-AD-AG-9431



Foto n° . 30-32-AD-AG-9440

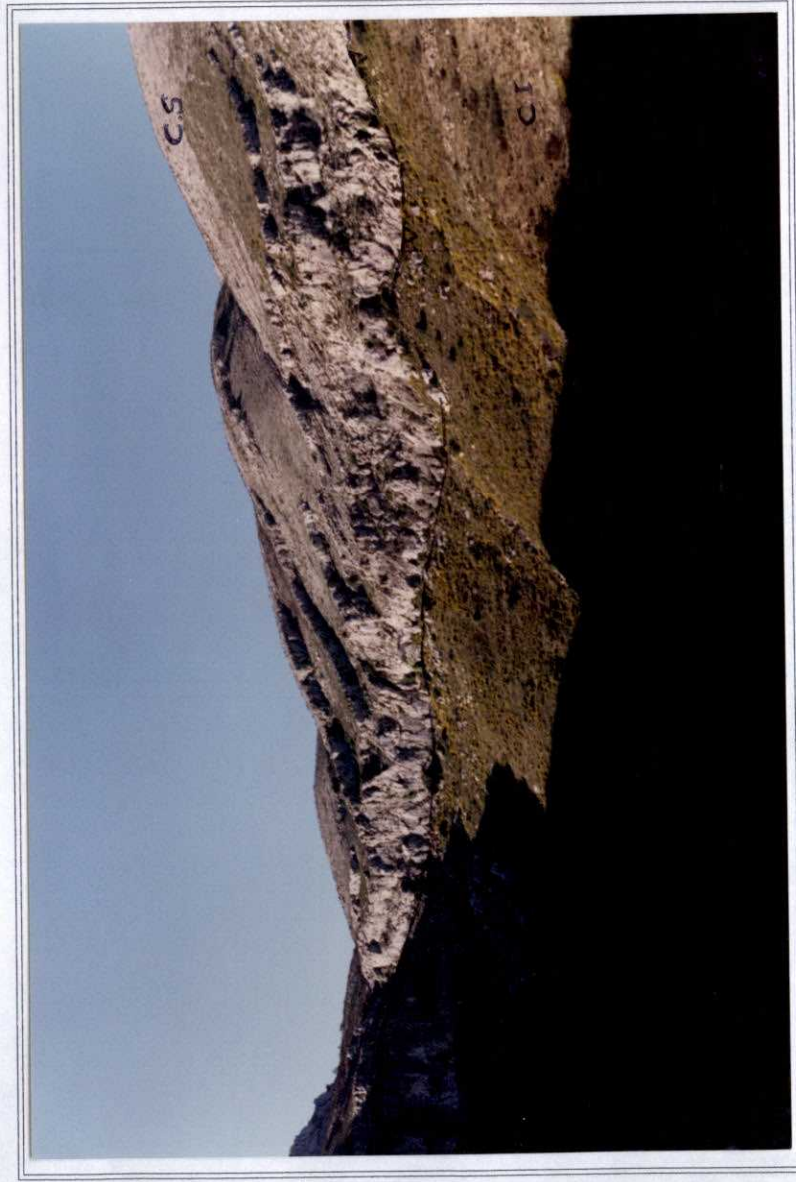


Foto n° .30-32-AD-AG-9432



Foto n° .30-32-AD-AG-9433

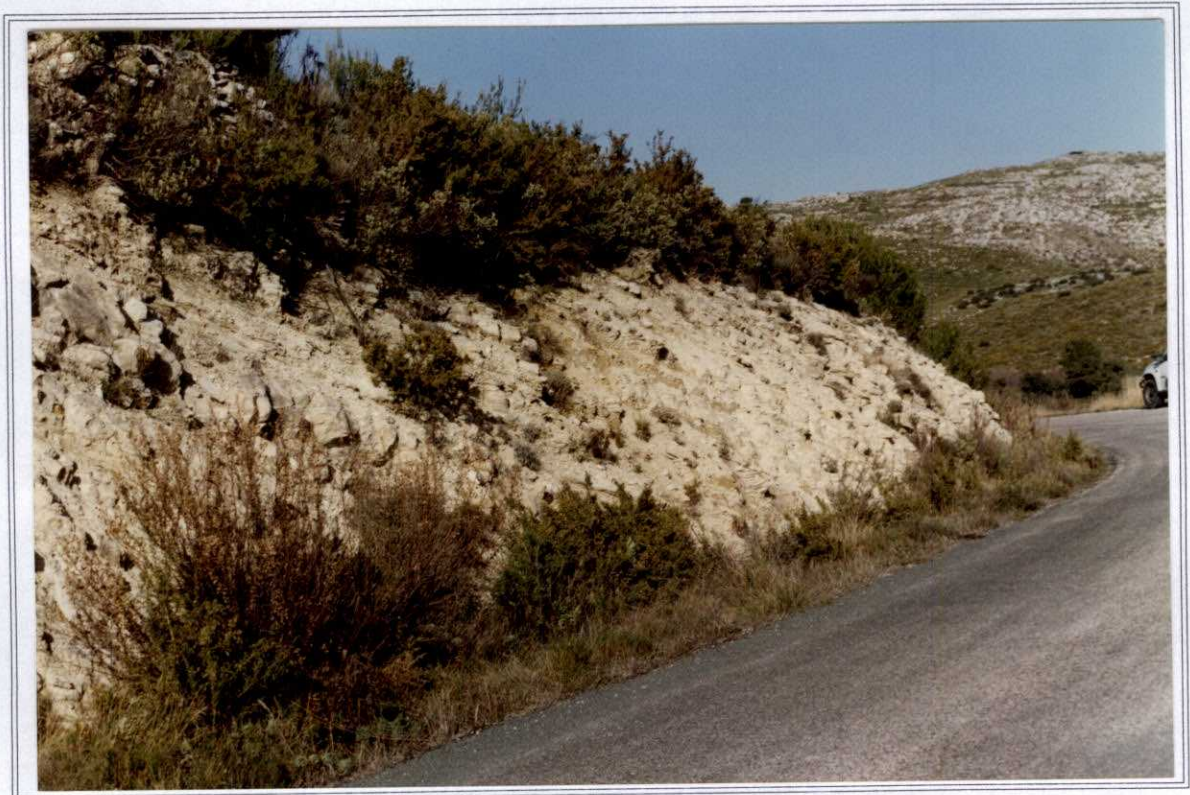




Foto n° 30-32-AD-AG-9435

Foto n° 30-32-AD-AG-9436

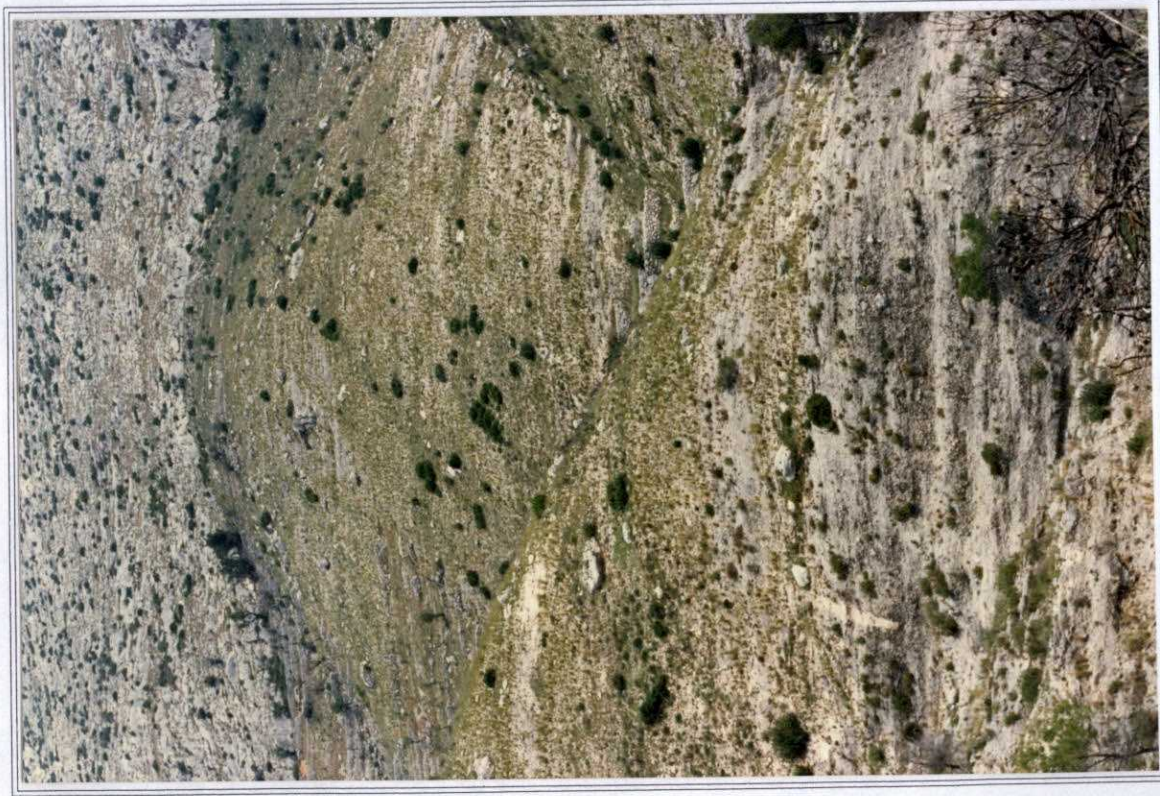


Foto n° 30-32-AD-AG-9437

*NO TIENE UBICACIÓN EN EL
PLANO DE SITUACIÓN DE
MUESTRAS, NI EN FICHAS MCC.1

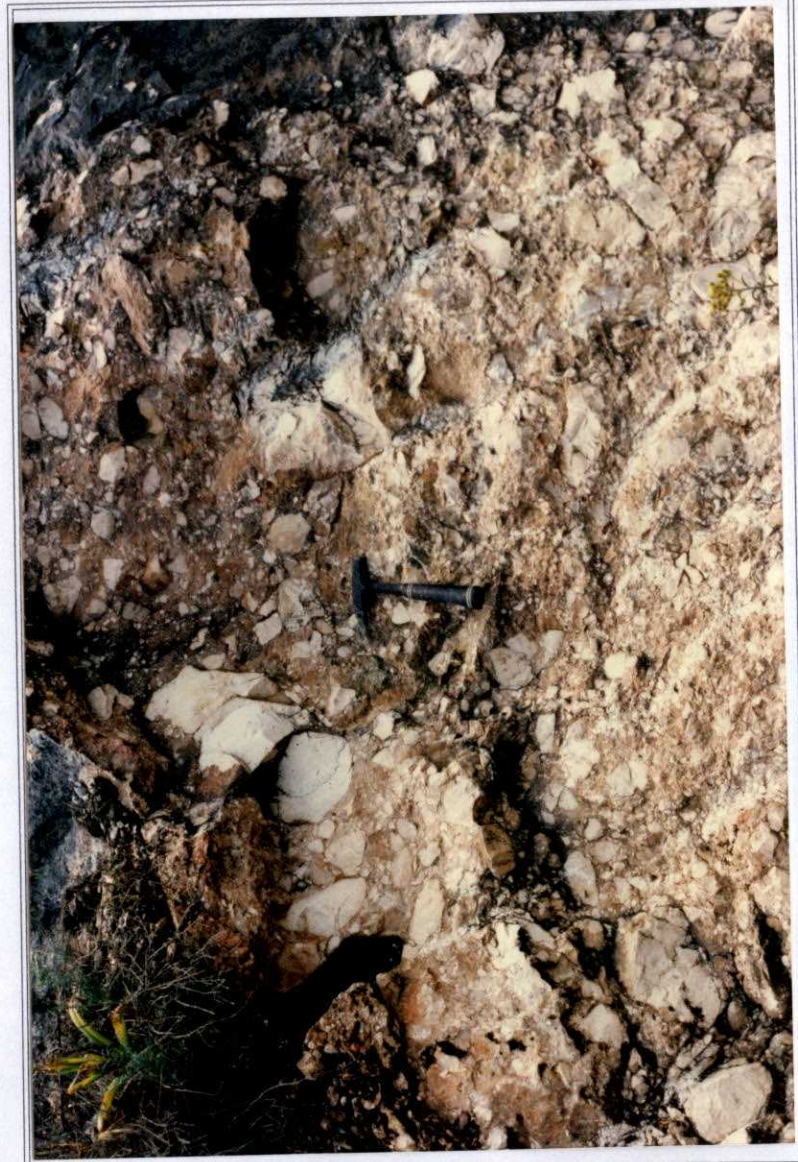




Foto n° 30-32-AD-AG-9438

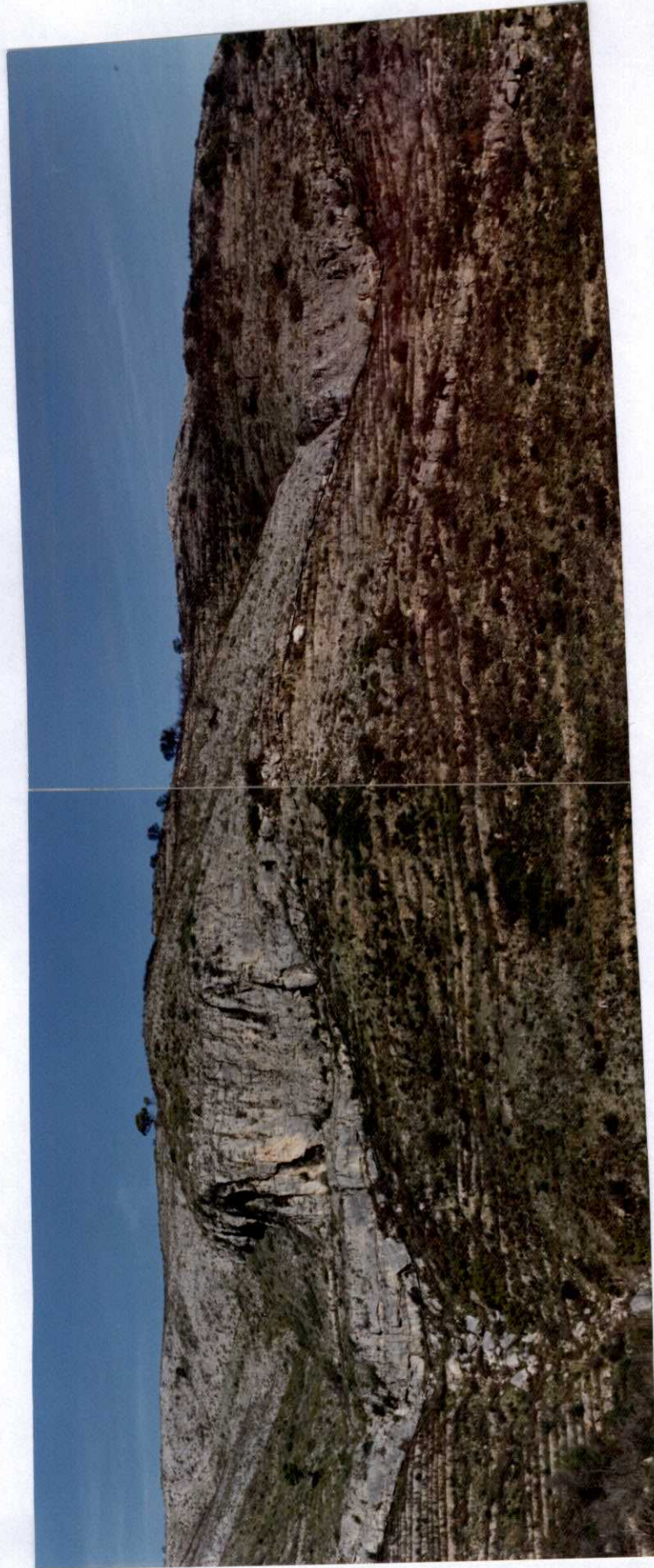


Foto n° 30-32-AD-AG-9439

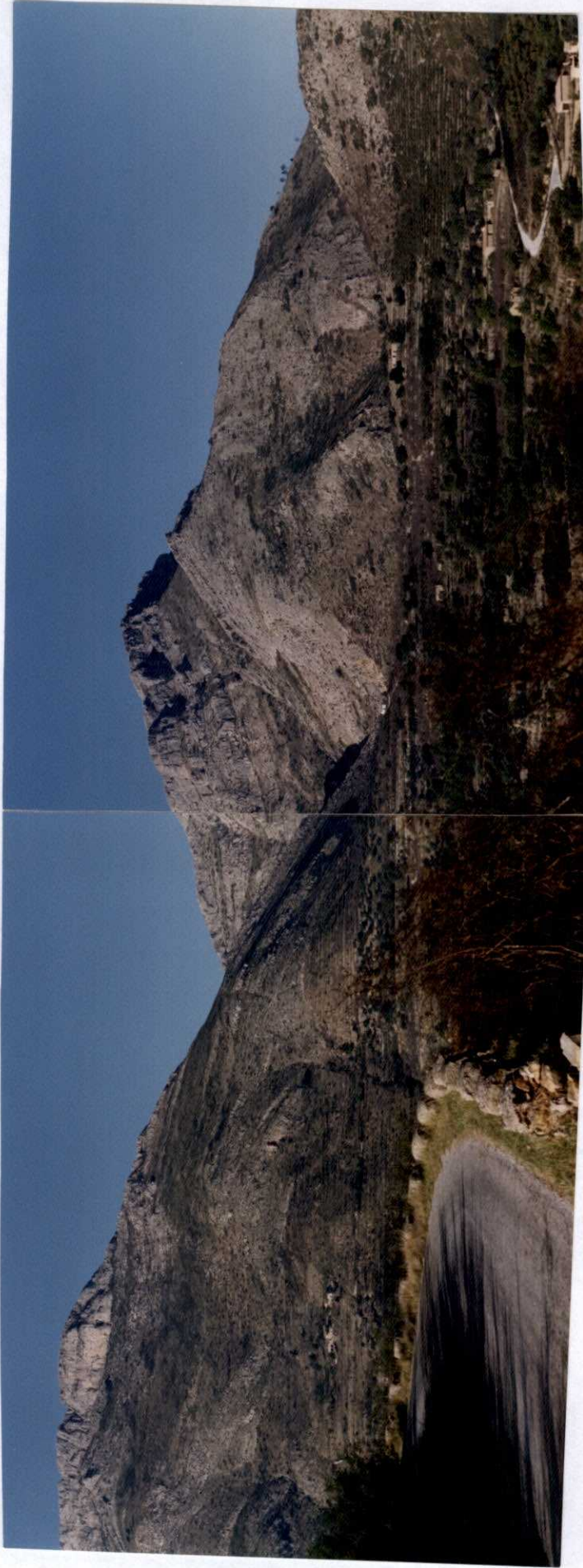


Foto n° 30-32-AD-AG-9441

* NO TIENE UBICACIÓN EN EL PLANO DE SITUACIÓN DE MUESTRAS, NI EN FICHAS MOCT.

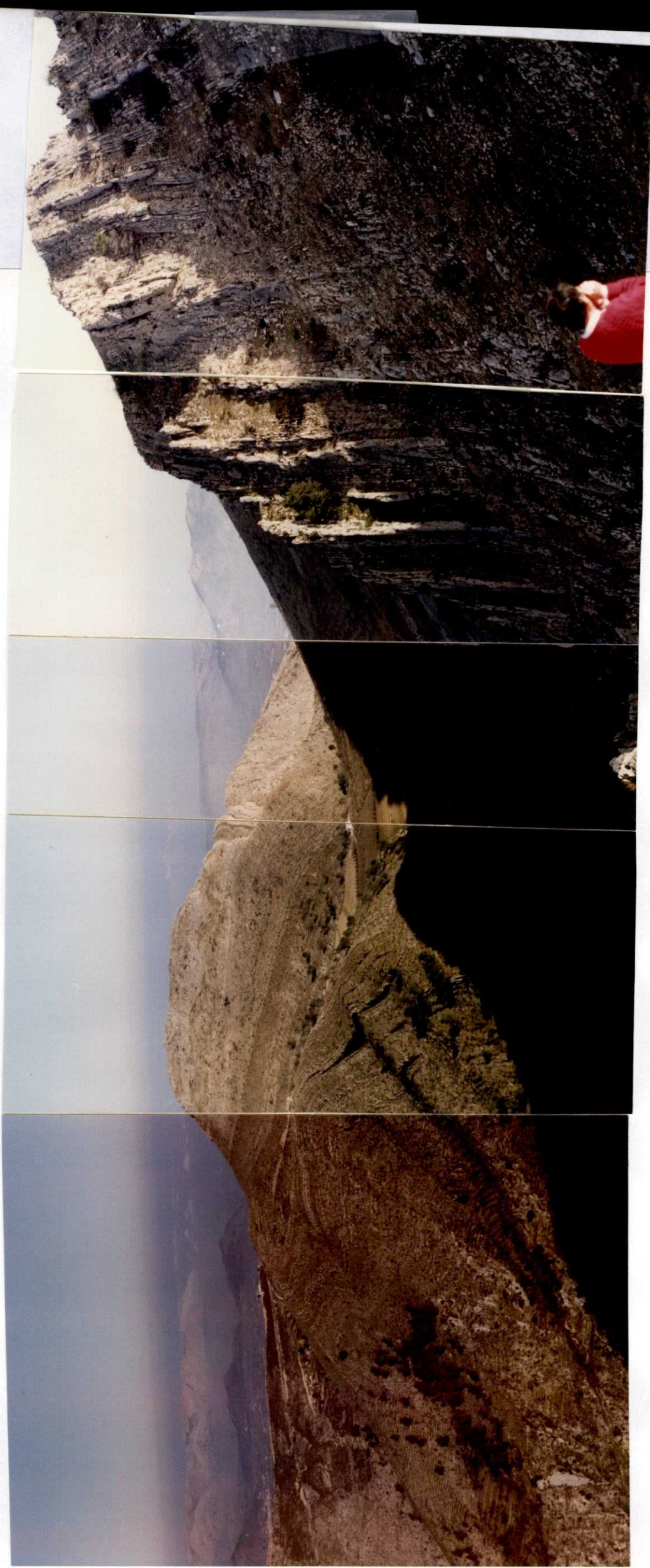


Foto n.º 30-32-AD-AG-9442

Foto n° 30-32-AD-AG-9443

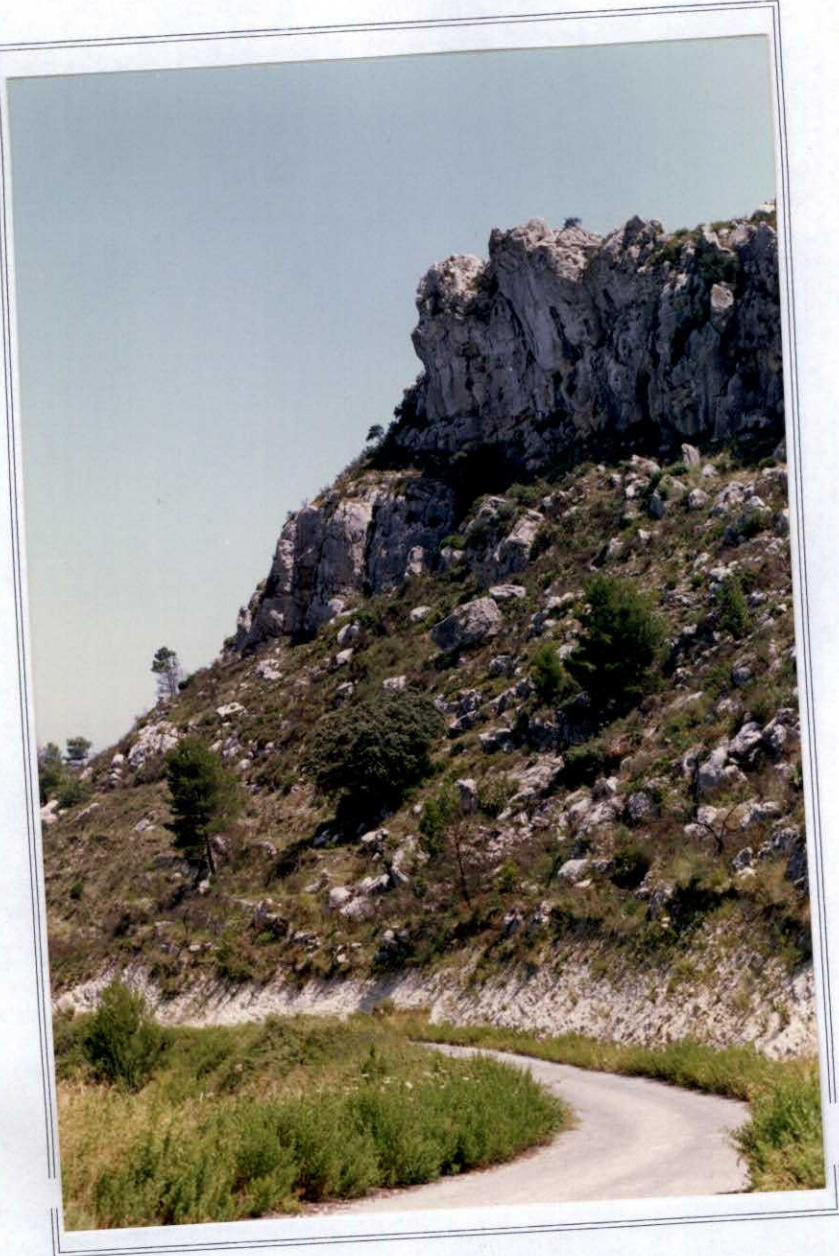


Foto n° 30-32-AD-AG-9400





Foto n° 30-32-AD-AG-9443

Foto n° 30-32-AD-AG-9400

